

# Introduction à la commande des systèmes dynamiques

## 9. Synthèse dans le diagramme de Bode

Dr. Ph. Mullhaupt

Ecole Polytechnique Fédérale de Lausanne (EPFL)

SIE

## Programme :

Nyquist: 1 marge de gain, pulsation  $\omega_c$  critique.  
 marge de phase / pulsation de croisement  $\omega_x$

2. Diagramme de Bode

régime harmonique.

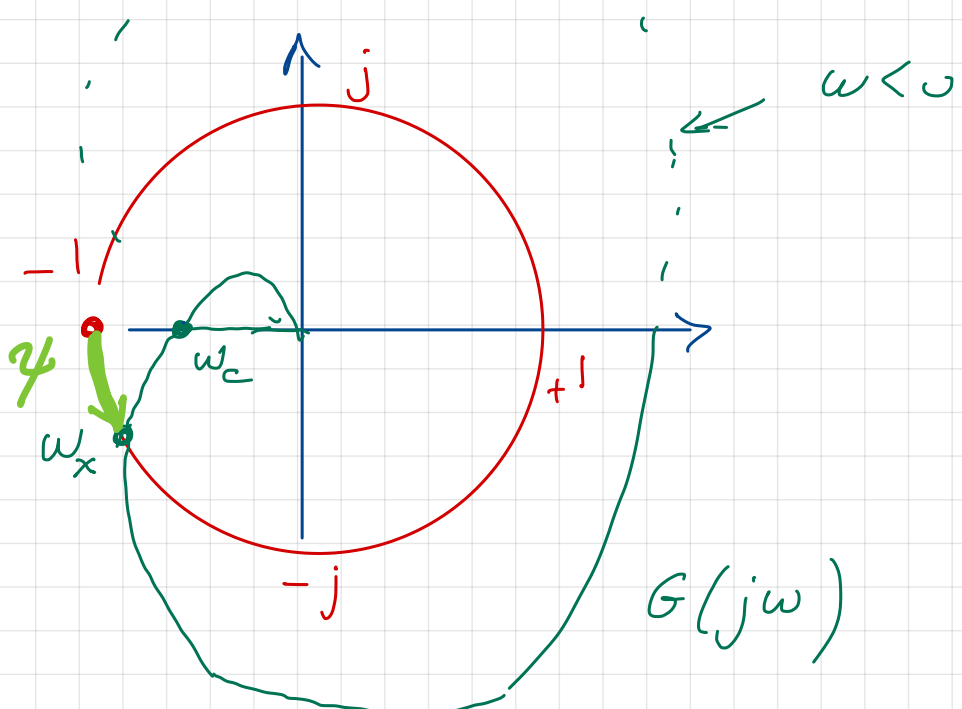
la règle d'or de la synthèse

3. Expérience Matlab.

1. marges

$$G(j\omega_c) \in \mathbb{R} \text{ par définition}$$

$$G(j\omega_c) = -a$$



Définition: La marge de gain  $\gamma = 1/a$

= gain limite  $K_p$  avant d'enrouler  
 $-1$ .

$$K_{P\text{ limite}} = \gamma = \frac{1}{a}$$

marge de phase:  $\gamma$

Définition argument entre  $-1$  et le point complexe  
 $G(j\omega_x) \in \mathbb{C}$

$\omega_x$ : pulsation de coïncidence est définie par

$$|G(j\omega_x)| = 1$$

$$e^{-sT} G(s) \leftrightarrow g(t-T)$$

retard introduit une rotation du diagramme de Nyquist localement autour de  $\omega_x$ .

Rappel  $|e^{-j\omega T}| = 1$ ,  $\forall \omega$ .

à  $\omega_x$  on a  $e^{-j\omega_x T} \in \mathbb{C}$  qui tourne le  $G(j\omega_x)$

# Contenu

- 1 Signaux sinusoïdaux complexes
- 2 Les deux opérateurs fondamentaux
  - L'opérateur dérivée
  - L'opérateur intégral
- 3 La fonction de transfert harmonique  $G(j\omega)$
- 4 Représentation dans le diagramme de Bode
- 5 Lien entre le diagramme de Bode et le diagramme de Nyquist
- 6 Synthèse dans le diagramme de Bode (asservissement uniu.)
  - Règle fondée sur le critère de Nyquist simplifié

## Classe de signaux

Somme finie de signaux périodiques complexes

$$s(t) = \sum_{i=1}^N a_i e^{j\omega_i t + \phi_i} \quad a_i \in \mathbb{C} \quad s(t) \in \mathbb{C}$$

Remarques

- Les signaux sont périodiques
- Les signaux sont complexes
- Ils commencent en  $-\infty$  et se terminent en  $+\infty$
- Grâce au principe de superposition, la réponse à travers un système linéaire à temps invariant est la superposition de la réponse à chaque sinusoïde  $a_i e^{j\omega_i t + \phi_i}$  séparée

*exemple :*  $s(t) = \sin(t) = \frac{1}{2j} e^{jt} - \frac{1}{2j} e^{-jt}$

$$\cos(t) = \frac{1}{2} e^{jt} + \frac{1}{2} e^{-jt}$$

# Onde sinusoïdale complexe fondamentale

Un signal fondamental

$$a(t) = ae^{j\omega t + \phi}$$

## L'opérateur dérivée $\hat{d}$

La dérivée  $\hat{d} = \frac{d}{dt}$

On dérive le signal

$$\frac{d}{dt}ae^{j\omega t+\phi} = j\omega ae^{j\omega t+\phi}$$

$=$

On peut donc définir

$$\hat{d}(a(t)) := j\omega a(t)$$

L'opérateur  $\hat{d}$  agit par multiplication simple uniquement sur un signal sinusoïdal complexe fondamental  $a(t) = ae^{j\omega t+\phi}$ .

## L'opérateur intégral $\hat{i}$

L'intégrale indéfinie  $\hat{i} = \int$

On calcule la primitive du signal

$$\int ae^{j\omega\tau+\phi} d\tau = \frac{1}{j\omega}ae^{j\omega t+\phi}$$

On peut donc définir l'action de l'opérateur  $\hat{i}$  sur un signal sinusoïdal complexe fondamental  $a(t)$

$$\hat{i}(a(t)) := \frac{1}{j\omega}a(t)$$

# Action sur une somme de fonctions sinusoïdales complexes

## Signal

$$a(t) = \sum_{i=1}^N a_i e^{j\omega_i t + \phi_i}$$

## Opérateur $\hat{\mathfrak{d}}$

$$\hat{\mathfrak{d}}(a(t)) = \sum_{i=1}^N j\omega_i a_i e^{j\omega_i t + \phi_i}$$

## Opérateur $\hat{\mathfrak{i}}$

$$\hat{\mathfrak{i}}(a(t)) = \sum_{i=1}^N \frac{1}{j\omega_i} a_i e^{j\omega_i t + \phi_i} = \frac{1}{\hat{\mathfrak{d}}}(a(t))$$

# Fonction de transfert harmonique $G(j\omega)$

## Fonction de transfert générale

$$G(s) = \frac{b_0 s^m + b_1 s^{m-1} + \dots + b_m}{s^n + a_1 s^{n-1} + \dots + a_n}$$

~~$\frac{Y(s)}{U(s)}$~~

Signal fondamental et opérateur  $\hat{\delta}$

$$a(t) = a e^{j\omega t + \phi}$$

$$\begin{aligned} Y(s)(s^n + a_1 s^{n-1} + \dots + a_n) &= \\ U(s)(b_0 s^m + b_1 s^{m-1} + \dots + b_m) &= \end{aligned}$$

Opérateur  $\hat{\delta}$

si phasEURS

$$\rightarrow \frac{Y(t)}{U(t)}$$

$$\frac{b_0 \hat{\delta}^m + b_1 \hat{\delta}^{m-1} + \dots + b_m}{\hat{\delta}^n + a_1 \hat{\delta}^{n-1} + \dots + a_n} = \frac{b_0 (j\omega)^m + b_1 (j\omega)^{m-1} + \dots + b_m}{(j\omega)^n + a_1 (j\omega)^{n-1} + \dots + a_n}$$

$$y(t) ((j\omega)^n + a_1 (j\omega)^{n-1} + \dots )$$

$$= u(t) (b_0 (j\omega)^m + b_1 (j\omega)^{m-1} + \dots + b_m)$$



# Fonction de transfert harmonique

## Signal fondamental

$$u(t) = ae^{j\omega t + \phi}$$

## Fonction de transfert harmonique

$$G(s) \leftrightarrow G(j\omega)$$

## Effet sur la sortie

$$y(t) = G(j\omega) u(t) = a |G(j\omega)| e^{j\omega t + \phi + \arg(G(j\omega))}$$



$$\begin{aligned} u(t) &\in \mathbb{C}, \forall t \\ y(t) &\in \mathbb{C}, \forall t \end{aligned}$$

## Exemple

### Fonction de transfert

$$G(s) = \frac{10}{s^2 + 6s + 3}$$

### Signal fondamental

$$u(t) = \sin(\underline{\omega} t) \quad \omega = 1 \quad [\text{rad/s}]$$

### Fonction de transfert harmonique

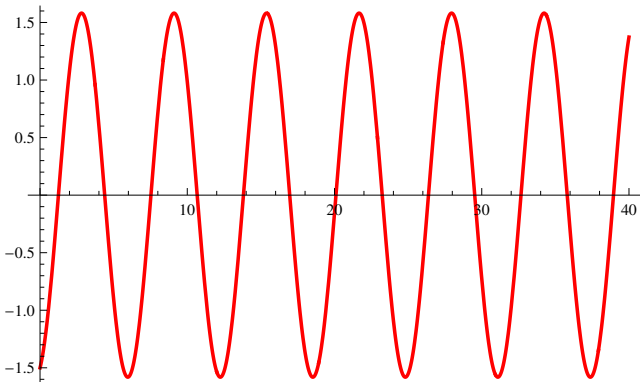
$$G(j\omega) \stackrel{1}{=} \frac{10}{3 - \omega^2 + 6j\omega}$$

$$G(j1) = \frac{10}{2 + 6j}$$

## Exemple

### Sortie correspondante

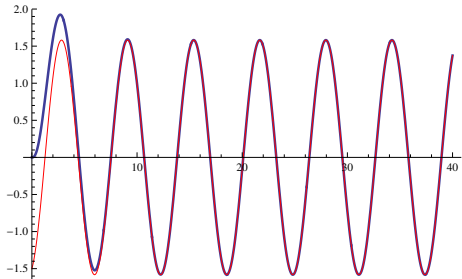
$$y(t) = |G(j)| \sin(t + \arg(G(j))) = \sqrt{52} \sin(t - \arctan(3)) = \\ -\frac{3}{2} \cos(t) + \frac{1}{2} \sin(t)$$



## Exemple

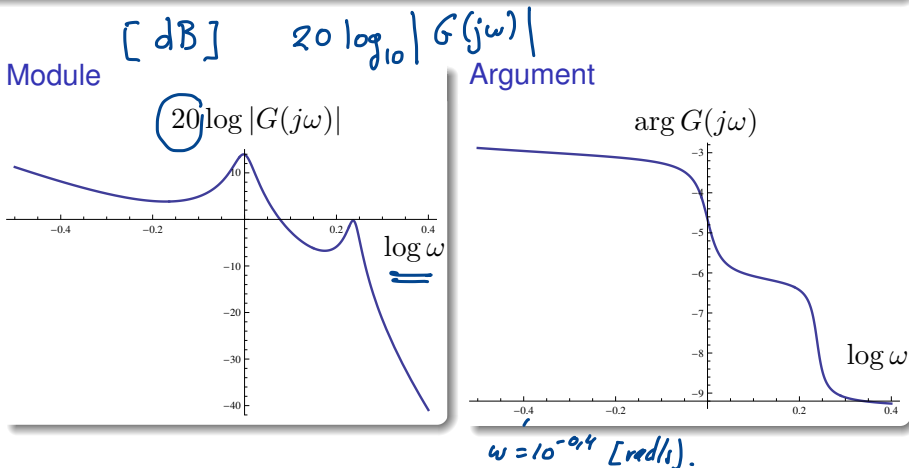
### Comparaison avec la transformation de Laplace

$$\begin{aligned}y(t) &= \mathcal{L}^{-1} \left( \frac{10}{s^2 + 6s + 3} \frac{1}{s^2 + 1} \right) \\&= \frac{1}{12} \left( (9 - 4\sqrt{6})e^{(-3-\sqrt{6})t} + (9 + 4\sqrt{6})e^{(-3+\sqrt{6})t} \right. \\&\quad \left. - 18 \cos(t) + 6 \sin(t) \right)\end{aligned}$$

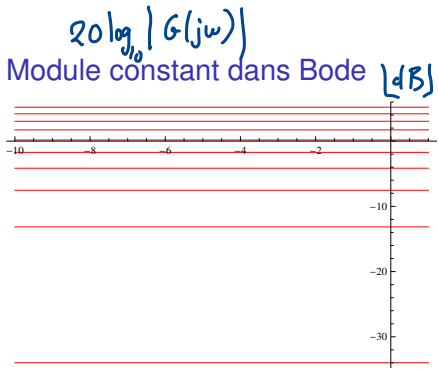


# Le diagramme de Bode

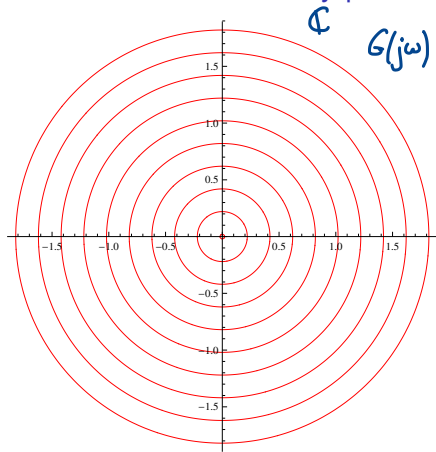
On représente  $G(j\omega)$  par deux graphiques



# Lien entre Bode et Nyquist



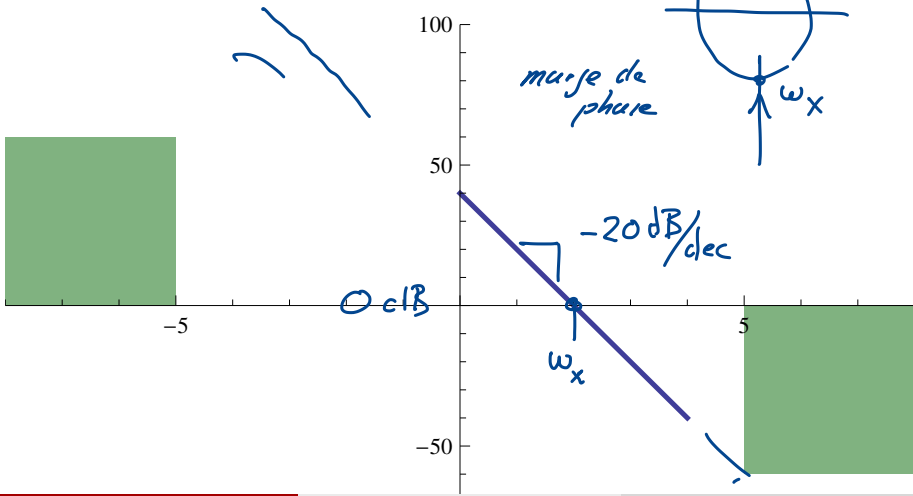
Module constant dans Nyquist

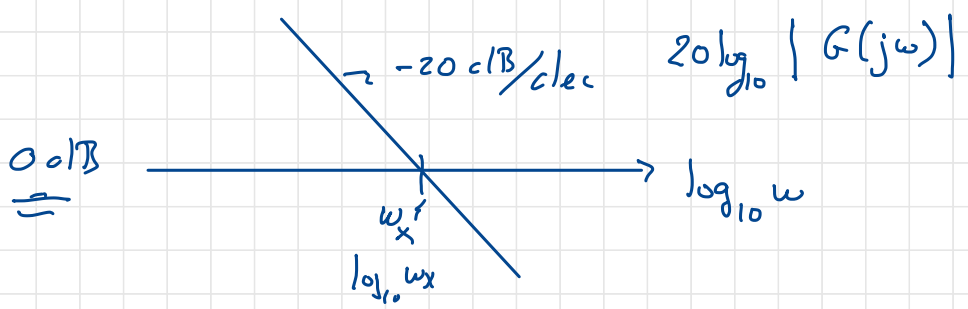


## Synthèse en asservissement dans le diagramme de Bode

Fondé sur le critère de Nyquist simplifié

Recette de synthèse





$\rightarrow$  B.O. ?  $G(s) = ?$

$$\log_{10} ? \\ s=j\omega$$

$O(c1B)$

$$|G(j\omega_x)| = 1 \quad G(s) = \frac{1 \cdot \gamma}{s} \quad 20 \log_{10} |G(j\omega_x)| = 0$$

$$0 = 20 \log_{10} \left| \frac{1 \cdot \gamma}{j\omega_x} \right| \approx 20 \log_{10} |\gamma| - 20 \log_{10} |\omega_x| \\ \gamma = \omega_x$$

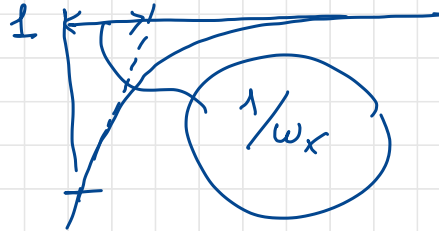
$$G(s) = \frac{\omega_x}{s}$$

Frage: B.F. für welche  $K(s) = 1$  ?

$$G_{B.F.}^{y_c \rightarrow y} = \frac{KG}{1+KG} = \frac{1 \cdot \frac{\omega_x}{s}}{1 + \frac{\omega_x}{s}} = \frac{\omega_x}{s + \omega_x}$$

Réponse indicelle ou asservissement

$$y_c \rightarrow y \\ G(0) = \frac{\omega_x}{\omega_x} = 1 \\ \text{pas de statisme}$$



Réponse impulsuelle :  $g(t) = e^{-t/\tau} = e^{-\omega_x t}$

$$\mathcal{L}^{-1}\left(\frac{\omega_x}{s + \omega_x}\right) = e^{-\omega_x t}$$

Bode de

$$\frac{1}{s + \alpha}$$

$$20 \log_{10} \left| \frac{1}{j\omega + \alpha} \right|$$

$\uparrow 20 \log_{10} |G(j\omega)|$

$$20 \log_{10} \left| \frac{1}{\alpha} \right|$$

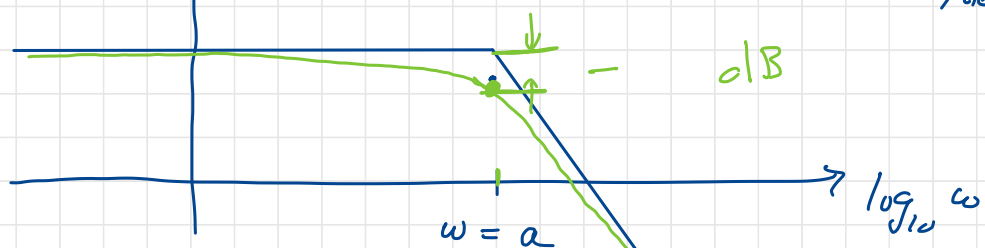
$$\omega \ll \alpha$$

$$\omega \gg \alpha$$

$$? \approx 20 \log_{10} \frac{1}{\alpha}$$

$$? \approx 20 \log_{10} \left| \frac{1}{j\omega} \right|$$

-20 dB/decad



$$\omega = \alpha$$

$$20 \log_{10} \left| \frac{1}{j\alpha + \alpha} \right| = 20 \log_{10} \frac{1}{\sqrt{\alpha^2 + \alpha^2}}$$

$$20 \log_{10} \left( \frac{1}{\sqrt{2}} \cdot \frac{1}{\alpha} \right) = \underbrace{20 \log_{10} \frac{1}{\sqrt{2}}}_{?} + 20 \log_{10} \frac{1}{\alpha}$$

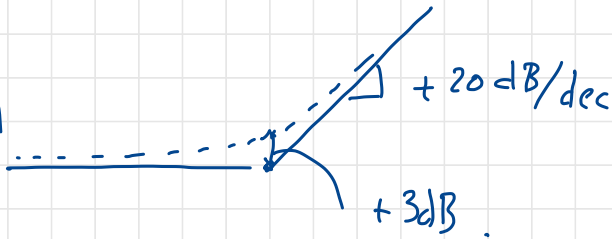
- 3,01 [c/B]

- 3 [c/B]

$s + a$

$$20 \log_{10} |(j\omega + a)|$$

$$20 \log_{10} (a)$$



$$\omega = a$$

$$G(s) = \frac{(s + z_1)(s + z_2)(s + z_3)}{(s + p_1)(s + p_2)(s + p_3)}$$

$$p_i \in \mathbb{R}$$

$$z_i \in \mathbb{R}$$

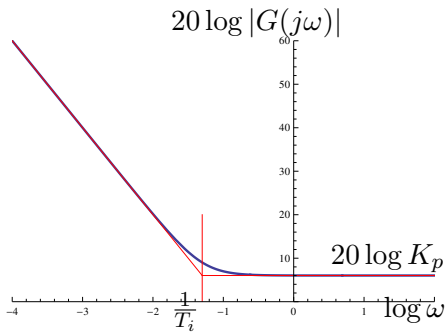
|| les logarithmes induisent à additionner les graphiques ci-dessus.

Par exemple :

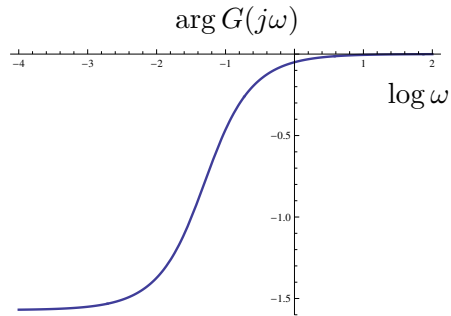
$$20 \log_{10} |G(j\omega)| = 20 \log_{10} |(j\omega + z_1)| + 20 \log_{10} |j\omega + z_2| + 20 \log_{10} |j\omega + z_3| - 20 \log_{10} |j\omega + p_1| - 20 \log_{10} |j\omega + p_2| - 20 \log_{10} |j\omega + p_3|$$

# Diagramme de Bode du régulateur PI

## Module

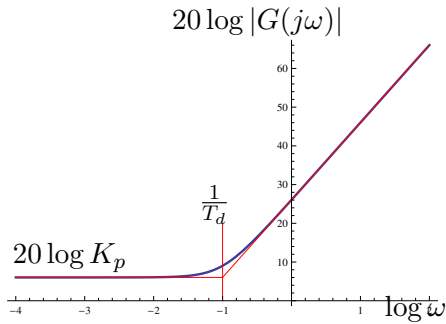


## Argument



# Diagramme de Bode du régulateur PD

Module



Argument

